

**ДИНАМИКА РАСТУЩЕГО С ПОСТОЯННОЙ СКОРОСТЬЮ
ПРЯМОЛИНЕЙНОГО ИЗОЛИРОВАННОГО РАЗРЕЗА
В УСЛОВИЯХ АНТИПЛОСКОЙ ДЕФОРМАЦИИ**

E. H. Шер

(Новосибирск)

В работе [1] рассмотрена задача о развитии изолированной прямолинейной трещины в условиях антиплоской деформации при произвольном ее нагружении и произвольном законе движения ее концов. Трудность практической реализации полученного решения заключается в необходимости последовательного расчета всех дифракций волн, бегающих вдоль трещины от одного ее края до другого. При этом нахождение решения для больших времен (по сравнению с временем пробега волновой длины трещины) практически невозможно.

В этом плане лучшими свойствами обладают автомодельные решения, получающиеся в задаче о развитии из нуля с постоянной скоростью прямолинейной изолированной трещины под действием соответствующей нагрузки. Произвольный закон нагружения при этом может быть приближен [2] суммой автомодельных.

Для случая плоской и осесимметричной деформации было решено несколько таких автомодельных задач [3—9]. В данной работе аналоги этих задач для антиплоской деформации рассматриваются как частный случай.

Обращение к антиплоской деформации объясняется, с одной стороны, большей математической простотой этого случая, по сравнению с плоской деформацией, и, с другой стороны, тем, что многие качественные стороны решений в случаях плоской и антиплоской деформаций являются общими.

1. Автомодельные задачи. Как известно [1], при антиплоской деформации единственной, отличной от нуля компонентой вектора перемещений является w — смещение вдоль оси z . Функция $w(x, y, t)$ удовлетворяет волновому уравнению

$$\frac{\partial^2 w}{\partial x^2} + \frac{\partial^2 w}{\partial y^2} = \frac{1}{b^2} \frac{\partial^2 w}{\partial t^2},$$

где b — скорость поперечных волн. Отличные от нуля компоненты тензора напряжения выражаются через w следующим образом:

$$(1.1) \quad \tau_{yz} = \mu \partial w / \partial y, \quad \tau_{xz} = \mu \partial w / \partial x,$$

где μ — модуль сдвига.

В дальнейшем будем искать решения отдельных задач как для w , так и для ее производных по времени $v_n = \partial^{(-n)} w / \partial t^{(-n)}$, $n = -1, -2, \dots$ и первообразных v_n таких, что $w = \partial^n v_n / \partial t^n$, $n = 0, 1, 2, \dots$ Все эти функции $v_n(x, y, t)$ также удовлетворяют волновому уравнению.

Рассмотрим класс автомодельных решений, состоящий из решений волнового уравнения для v_n , представляющих собой однородные функции переменных x, y, t нулевого порядка. Такие решения полностью описываются классом функционально-инвариантных решений Смирнова — Соболева [10]. Так, любую функцию $v_n(x/bt, y/bt)$, удовлетворяющую волновому уравнению, можно представить в виде

$$(1.2) \quad v_n(x/bt, y/bt) = \operatorname{Re} V_n(z),$$

где $V_n(z)$ — аналитическая функция комплексного переменного z , связанного с переменными x, y, t соотношением

$$\delta = t - zx - y\sqrt{b^{-2} - z^2} = 0.$$

Приведем здесь формулы замены переменных при дифференцировании

$$(1.3) \quad \frac{\partial}{\partial t} = -\frac{1}{\delta'} \frac{\partial}{\partial z}, \quad \frac{\partial}{\partial x} = \frac{z}{\delta'} \frac{\partial}{\partial z}, \quad \frac{\partial}{\partial y} = \frac{\sqrt{b^{-2} - z^2}}{\delta'} \frac{\partial}{\partial z}, \quad \delta' = \frac{\partial \delta}{\partial z}.$$

В частности, $z = t/x$, $\delta' = -x$ при $y = 0$.

Соотношение (1.2) позволяет свести задачу для волнового уравнения к задаче нахождения аналитической функции $V_n(z)$. При этом начальные и граничные условия задачи для волнового уравнения должны перейти в граничные условия для нахождения $V_n(z)$.

Используя связь $v_n(x/bt, y/bt)$ со смещением $w(x, y, t)$ и формулы (1.1), можно получить, что компоненты тензора напряжений имеют вид

$$\tau_{yz} = -\tau_0(t_0/t)^{n+1} \tau_{vz}^0(x/bt, y/bt).$$

В соответствии с этим рассмотрим задачу о расширении из нуля с постоянной скоростью v разреза, берега которого нагружены сдвигающим напряжением

$$(1.4) \quad \tau(x, t) = \pm \tau_0(t_0/t)^{n+1} f(x/bt),$$

где $f(s)$ — произвольная интегрируемая функция; x — координата вдоль линии разреза.

Наиболее простое решение получается при $n = 0$. В этом случае решение сводится к нахождению функции $V_0(z_1)$, $z_1 = 1/bz$, реальная часть которой есть перемещение

$$w(x/bt, y/bt) = \operatorname{Re} V_0(z_1).$$

Как известно [10], верхней полуплоскости плоскости $z_1 = x_1 + iy_1$ соответствует в физической плоскости внутренность верхнего полукруга $x^2 + y^2 \leq b^2 t^2$. При этом отрезок оси $y_1 = 0$, $|x_1| < v/b$ соответствует разрезу $|x| < vt$; $v/b < |x_1| < 1$ — участкам оси x от носиков разреза до волны; $|x_1| > 1$ — волне $x^2 + y^2 = b^2 t^2$, $y > 0$. Бесконечно удаленной точке в плоскости z_1 соответствует физическая точка волны $x = 0$, $y = bt$.

Выпишем граничные условия рассматриваемой задачи на ось x_1 , плоскости z_1 . При $y_1 = 0$, $|x_1| < v/b$ задано $\tau_{yz} = -\tau_0 t_0 f(x_1)/t$. Используя (1.1) — (1.3) и условие $y = 0$ на этом интервале, получим

$$\operatorname{Re} V_0 \sqrt{b^{-2} - z^2} = \operatorname{Re} M_0 = \tau_0 t_0 b x_1 f(x_1)/\mu.$$

Здесь и дальше штрих означает дифференцирование по комплексной переменной z . При $y_1 = 0$, $v/b < |x_1| < 1$ перемещения $w(x/bt, 0)$ равны нулю, т. е. $\operatorname{Re} V_0(x_1) = 0$. При $y_1 = 0$, $|x_1| > 1$ $w = 0$ вследствие нулевых начальных данных задачи, откуда следует, что и на этом участке $\operatorname{Re} V_0(x_1) = 0$.

Для функции $M_0(z_1) = V'_0 \sqrt{b^{-2} - z^2}$ имеем следующие граничные условия при $y_1 = 0$:

$$(1.5) \quad \begin{aligned} \operatorname{Re} M_0 &= \tau_0 t_0 x_1 b f(x_1)/\mu && \text{при } |x_1| < vt, \\ \operatorname{Im} M_0 &= 0 && \text{при } v/b < |x_1| < 1, \\ \operatorname{Re} M_0 &= 0 && \text{при } |x_1| > 1. \end{aligned}$$

Для однозначного нахождения аналитической функции $M_0(z_1)$ по граничным условиям (1.5) необходимо определить характер поведения искомой функции в точках $z_1 = 0, \infty, \pm v/b, \pm 1$, исходя из физической постановки задачи.

1. Точка $z_1 = 0, z = \infty$ соответствует середине трещины. Предположим ограниченность перемещения в этой точке $V_0 \sim a_0 + a_1/z + \dots$ (a_0, a_1, \dots — произвольные действительные числа). Отсюда $V_0' \sim 1/z^2, M_0 \sim i/z \sim iz_1$.

2. Точка $z_1 = \infty, z = 0$ соответствует точке волны $x = 0, y = bt$. Так как $\operatorname{Re} V_0(z_1) = 0$ по обе стороны от точки $z = 0$ при $\operatorname{Re} z = 0$, то по принципу симметрии $V_0(z_1)$ можно продолжить за действительную ось слева и справа от $z = 0$ непрерывно. Это означает, что точка $z = 0$ не может быть точкой ветвления функции $V_0(z_1)$. Разложение Лорана в этой точке имеет вид

$$V_0(z_1) \sim i(a_0 + a_1 z + \dots).$$

Отсутствие членов с отрицательными степенями объясняется, с одной стороны, тем, что нет никаких причин ожидать особого поведения решения в этой точке волны по сравнению с другими ее точками, и, с другой стороны, тем, что появление таких членов означало бы нагружение этой точки каким-то внешним воздействием. Можно показать, что функция $V_0 = -2Q/i\pi\mu bz$ — есть решение задачи об упругом поле антиплоских смещений, возникающем в плоскости при нагружении ее разбегающейся со скоростью b вдоль оси y пары сосредоточенных сил $\pm Q$. В итоге, при $z_1 \rightarrow \infty$ имеем $M_0(z_1) \sim i$.

3. При $z_1 = +v/b$, что соответствует носикам разреза, будем предполагать у $M_0(z_1)$ наличие корневой особенности $(z_1 - v^2/b^2)^{-1/2}$, так как значение $\operatorname{Re} M_0(z_1)$ в данной задаче пропорционально τ_{yz} .

4. Точки $z_1 = \pm 1$ соответствуют точкам волны на оси x . Аналогично случаю $z_1 = \infty$ можно показать, что эти точки не могут быть для $V_0(z_1)$ точками ветвления, а наличие в разложении Лорана при $z \rightarrow b^{-1}$ членов $(z - b^{-1})^{-m}, m > 0$, означало бы дополнительное сосредоточенное нагружение этой точки. Отсюда допустим в этой точке следующий вид разложения: $V_0(z_1) \sim i[a_0 + a_1(z - b^{-1}) + \dots]$, откуда следует, что при $z_1 \rightarrow \pm 1$ $M_0 \sim \sqrt{z_1^2 - 1}$. Функция $M_0(z_1)$, удовлетворяющая граничным условиям (1.5) и имеющая нужное поведение в точках $z_1 = 0, \infty, \pm v/b, \pm 1$, единственна:

$$M_0(z_1) = \frac{z_1 \sqrt{z_1^2 - 1}}{\pi i \sqrt{z_1^2 - v^2/b^2}} \int_{-v/b}^{v/b} \frac{t_0 \tau_0 b f(s)}{\mu(s - z_1)} \sqrt{\frac{s^2 - v^2/b^2}{s^2 - 1}} ds.$$

Приведем выражение для коэффициента интенсивности напряжений. Если напряжения вблизи носика трещины имеют асимптотику $\tau_{yz} \approx \approx N/\sqrt{x - vt}$, то

$$(1.6) \quad N = \frac{\tau_0 t_0 b \sqrt{1 - v^2/b^2}}{\pi \sqrt{2vt}} \int_{-v/b}^{v/b} \sqrt{\frac{v/b + x}{v/b - x}} \frac{f(x) dx}{\sqrt{1 - x^2}}.$$

Отсюда при $f(x) = 1$, что соответствует постоянному вдоль разреза напряжению $\tau(x, t) = \tau_0 t_0 / t$, следует

$$N = 2N^0 K(v/b) \sqrt{1 - v^2/b^2}/\pi,$$

где $N^0 = \tau_0 t_0 (v/2t)^{1/2}$ — значение коэффициента интенсивности для статической задачи о равномерном нагружении разреза длины $2vt$ нагрузкой $\tau_0 t_0 / t$; $K(v/b)$ — полный эллиптический интеграл 1-го рода.

При $f(x) = Q\delta_1(x)/\tau_0bt_0$, что соответствует нагружению постоянной силой, из (1.6) следует

$$(1.7) \quad N = N^0 \sqrt{1 - v^2/b^2}, \quad N^0 = Q/\pi \sqrt{2vt},$$

где N^0 — значение коэффициента интенсивности для статической задачи о разрезе длины $2vt$, нагруженном сдвигающими силами $\pm Q$. Компонента тензора напряжения τ_{yz} в этом случае в интервале $vt < x < bt$ определяется выражением

$$(1.8) \quad \tau_{yz} = Qv \sqrt{b^2t^2 - x^2/\pi b x} \sqrt{x^2 - v^2t^2}.$$

Случай $n = 1$ в (1.4) исследуется аналогично предыдущему [11]. При этом коэффициент интенсивности определяется выражением

$$(1.9) \quad N = \frac{\tau_0 t_0^2 \sqrt{vt/2}}{\pi t^2 \sqrt{1 - v^2/b^2}} \frac{b}{v} \int_{-v/b}^{v/b} \frac{f(s) \sqrt{s + v/b} \sqrt{1 - s^2}}{\sqrt{v/b - 1}} ds.$$

Из (1.9) следует для равномерно распределенной нагрузки:

$$\begin{aligned} \tau(x, t) &= \tau_0(t_0/t)^2 \delta_0(1 - |x/vt|), \\ N &= 2N^0 E(v/b)/\pi \sqrt{1 - v^2/b^2}, \quad N^0 = \tau_0(t_0/t)^2 \sqrt{vt/2}; \end{aligned}$$

для сосредоточенной нагрузки:

$$\begin{aligned} \tau(x, t) &= Qt_0 \delta_1(x)/t, \\ N &= N^0 / \sqrt{1 - v^2/b^2}, \quad N^0 = Qt_0/\pi t \sqrt{2vt}. \end{aligned}$$

В последнем случае τ_{yz} в интервале между носиком трещины и волной на оси $y = 0$ определяется выражением

$$(1.10) \quad \tau_{yz} = Qt_0 v / \pi b^2 t^2 x_1 \sqrt{x_1^2 - v^2/b^2} \sqrt{1 - x_1^2}.$$

Для значения $n \geq 2$ не удается построить решения, удовлетворяющего граничным условиям и нужному поведению в точках $z_1 = 0, \infty, \pm v/b, \pm 1$, определяемому аналогично тому, как это делалось для $n = 0, 1$.

Чтобы понять причину этого, найдем дипольный момент D сил нагружения для частного случая нагружения постоянным по длине разреза напряжением $\tau = \tau_0(t_0/t)^{n+1}$. Такой дипольный момент D пропорционален $\tau v^2 t^2$. Так, для $n = 0$ $D \sim t$. Для $n = 1$ $D \sim \text{const}$, что соответствует задаче о включении диполя в начале координат в нулевой момент времени. В случае $n = 2$ $D \sim t^{-1}$. Такое нагружение приводит к бесконечным смещениям, аналогично нагружению полуплоскости силой $Q(t)$ (задача Лэмба), не интегрируемой в начальный момент времени.

Исследуем теперь случай $n \leq -1$ ($n = k - 1$; $k = 0, -1, -2, \dots$). При таком законе нагружения

$$\begin{aligned} v_n(x/bt, y/bt) &= \operatorname{Re} V_n(z_1) = \partial^{1-k} w / \partial t^{(1-k)}, \\ \partial^{(1-k)} \tau_{yz} / \partial t^{(1-k)} &= \mu \operatorname{Re} V'_n \sqrt{b^{-2} - z^2} / \delta' = \mu \operatorname{Re} M_n / \delta'. \end{aligned}$$

Отсюда при $|x_1| < v/b$, $y_1 = 0$, когда задана внешняя нагрузка (1.4), имеем $\operatorname{Re} M_n = (x/\mu) \partial^{1-k} \tau(x, t) / \partial t^{(1-k)}$. При $v/b < |x_1| < 1$ $w = 0$, $\partial^{(1-k)} w / \partial t^{(1-k)} = 0$, $\operatorname{Re} V_n = 0$, $\operatorname{Im} M_n = 0$. При $|x_1| > 1$ $\operatorname{Re} V_n = 0$, $\operatorname{Re} M_n = 0$.

Оценим характер поведения функций $M_n(z_1)$ в точках $z_1 = 0, \pm v/b, \infty$ при условии $f(x_1) = f(-x_1)$ в (1.4).

При $z_1 = 0$ $V_n \sim a_0 + a_2/z^2 + \dots, M_n \sim iz_1^2;$

$$z_1 = \infty \quad V_n \sim i(a_1 z + a_3 z^3 + \dots), \quad M_n \sim i;$$

$$z_1 = \pm v/b \quad M_n \sim (z_1^2 - v^2/b^2)^{-(3-2k)/2};$$

$$z_1 = \pm 1 \quad V_n \sim i[a_0 + a_1(z \mp b^{-1}) + \dots], \quad M_n \sim \sqrt{z_1^2 - 1}.$$

Функция, удовлетворяющая всем этим требованиям, имеет вид

$$(1.11) \quad M_n = \frac{z_1 \sqrt{z_1^2 - 1}}{(z_1^2 - v^2/b^2)^{(3-2k)/2}} \left[\frac{1}{\pi i} \int_{-v/b}^{v/b} \frac{\operatorname{Re} M_n(s^2 - v^2/b^2)^{(3-2k)/2} ds}{s \sqrt{s^2 - 1} (s - z_1)} + \right. \\ \left. + iz_1 \sum_{m=0}^{|k|} A_m z_1^{2m} \right],$$

где A_m ($m = 0, 1, \dots, |k|$) — неопределенные константы, для нахождения которых необходимо по M_n восстановить значения $\partial^p \tau_{yz}/\partial t^p$ ($p = 0, \dots, |k|$) на берегах разреза и потребовать выполнения соответствующего граничного условия в какой-нибудь точке разреза, например, $x = vt - 0, y = 0$. При этом получается линейная относительно A_m система уравнений

$$(1.12) \quad \frac{\partial^p \tau_{yz}}{\partial t^p} = - \frac{\partial^p \tau(vt, t)}{\partial t^p} = i \frac{x^{(k-p)}}{(-k-p)!} \operatorname{Re} \int_{b-1}^{v-1-0} (v-1-t)^{-p-k} M_n dt,$$

решение которой завершает построение функции $M_n(z_1)$ (1.11).

Приведем выражения для коэффициентов интенсивности при равномерно распределенном и сосредоточенном нагружении, найденные описанной выше процедурой при $k = 0$

$$(1.13) \quad \tau = \tau_0 \delta_0(1 - |x/vt|),$$

$$N = N^0 \sqrt{1 - v^2/b^2} / E(\sqrt{1 - v^2/b^2}), \quad N^0 = \tau_0 \sqrt{vt/2};$$

$$(1.14) \quad \tau = Q \delta_1(x) t/t_0,$$

$$N = N^0 \sqrt{1 - v^2/b^2} [1 - v^2 K(\sqrt{1 - v^2/b^2})/b^2 E(\sqrt{1 - v^2/b^2})], \quad N^0 = Qt/\pi t_0 \sqrt{2vt}.$$

Аналог последней задачи для плоской деформации рассматривается в [7], но там в решении опущен член, содержащий неопределенную константу и имеющий смысл решения при нагружении берегов разреза постоянным напряжением (задача Броберга). Таким образом, решение, найденное в [7], соответствует комбинации сосредоточенного и некоторого равномерного нагружения.

С увеличением значения $|k|$ получение подобных (1.13), (1.14) аналитических зависимостей становится затруднительным и более реальным, по-видимому, будет численный метод получения и решения системы (1.12) для A_m . Из решений рассмотренных автомодельных задач теории упругости о динамическом нагружении растущего со скоростью v разреза следует, что при $v/b \ll 1$ коэффициент интенсивности напряжения близок

к своему «квазистатическому» значению $N^0(t)$, определяемому из решения статической задачи. Поправочный множитель к квазистатическому значению N/N^0 в рассмотренных случаях существенно зависит от закона нагружения (1.4) и может быть как меньше, так и больше единицы.

2. Сосредоточенное нагружение. Рассматривается следующая задача. Из начала координат $x = y = 0$ в покоящейся в начальный момент упругой плоскости начинает развиваться с постоянной скоростью v вдоль оси x вправо и влево разрез $|x| < vt$, $y = 0$. Берега разреза нагружаются сосредоточенным усилием

$$(2.1) \quad \tau(x, t) = \pm f(t) \delta_1(x) \delta_0(t),$$

действующим вдоль оси z . Здесь $\tau(x, t)$ — напряжение нагрузки; $\delta_1(x)$ — дельта-функция Дирака; $\delta_0(t)$ — функция Хевисайда; $f(t)$ — функция, определяющая изменение сил во времени; знаки $+$ и $-$ относятся к верхнему и нижнему берегам разреза. Требуется определить коэффициент интенсивности напряжений в кончиках разреза.

В работе [2] предложено произвольный закон нагружения типа (2.1) приближать степенным рядом по t :

$$f(t) = \sum_{i=0}^{\infty} a_i t^i.$$

Этот прием позволяет свести решение поставленной задачи к решению автомодельных задач о нагружении подобного разреза нагрузкой

$$(2.2) \quad \tau(x, t) = \pm t^i \delta_1(x) \delta_0(t), \quad i = 0, 1, 2, \dots$$

Решение для закона (2.1) при этом получается как линейная комбинация решений с нагрузкой (2.2), а коэффициент интенсивности напряжений в носике разреза находится в виде ряда

$$(2.3) \quad N(t) = \sum_{i=0}^{\infty} a_i N_i(t),$$

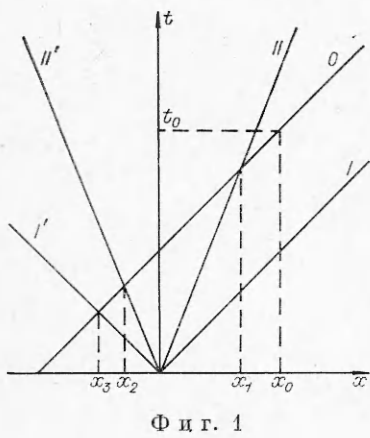
где $N_i(t)$ — коэффициент интенсивности напряжений в автомодельной задаче с нагрузкой (2.2).

Задача с нагрузкой (2.2) является частным случаем автомодельных задач, рассмотренных в п. 1, где приведены аналитические выражения N_i при $i = 0$ (1.7) и $i = 1$ (1.14). При $i > 1$ значения N_i найдем численно, решая автомодельную задачу с нагрузкой (2.2) путем сведения ее к интегральному уравнению Фредгольма относительно неизвестной компоненты тензора напряжения τ_{yz} при $y = 0$. Для составления такого уравнения относительно $\tau_{yz}(x, 0, t)$ при $vt < |x| < bt$ воспользуемся результатом [1].

Напряжение в точке $(x_0, 0)$ на продолжении полубесконечного движущегося и произвольно нагружаемого разреза $x < l(t)$, $y = 0$ в первоначально покоящейся плоскости в момент времени t_0 определяется выражением

$$(2.4) \quad \tau_{yz}(x_0, t_0) = \frac{1}{\pi \sqrt{x_0 - x_1}} \int_{x_0 - t_0}^{x_1} p(x, t_0 - x_0 + x) \frac{\sqrt{x_1 - x}}{x_0 - x} dx,$$

где x_1 — координата точки пересечения характеристики, проходящей через точку (x_0, t_0) , с траекторией конца разреза в плоскости (x, t) ; $p(x, t)$ — нагрузка берегов разреза, заданная при $x < l(t)$.



В плоскости (x, t) исследуемая задача имеет конфигурацию, изображенную на фиг. 1. Характеристики I и I' отделяют области покоя от области движения. Траектории концов разреза изображены прямыми II и II' . Между ними находится область, где нагрузка $p(x, t)$ задана формулой (2.2).

Считая напряжения при $x < vt$ заданными, получим из (2.4) интегральное уравнение для τ_{yz} . Интегрирование в (2.4) при этом производится по характеристике O (см. фиг. 1) на интервалах (x_2, x_1) , где нагрузка $p(x, t) = \tau(x, t)$ задана из (2.2) и $(x_3 x_2)$, где нагрузка $p(x, t) = -\tau_{yz}(x, t)$ неизвестна.

Вследствие автомодельности задачи с нагрузкой (2.2) напряжения τ и τ_{yz} представляются в виде

$$(2.5) \quad \tau = t^{i-1} \delta_1(x/t), \quad \tau_{yz} = t^{i-1} \varphi_i(x/t).$$

Подставляя (2.5) в уравнение (2.4) и переходя к переменной $\xi = x/t$, получаем интегральное уравнение относительно $\varphi_i(\xi)$

$$\begin{aligned} \frac{\varphi_i(\xi_0)}{(1-\xi_0)^i} \left(\frac{\xi_0}{1-\xi_0} - \frac{v}{1-v} \right)^{1/2} = & - \frac{1}{\pi} \int_{-1}^{-v} \frac{\varphi_i(\xi)}{(1-\xi)^i} \left(\frac{v}{1-v} - \frac{\xi}{1-\xi} \right)^{1/2} d\xi + \\ & + \frac{1}{\pi \xi_0} \sqrt{\frac{v}{1-v}}. \end{aligned}$$

Используя симметрию задачи $\varphi_i(\xi) = \varphi_i(-\xi)$ и вводя новую неизвестную функцию

$$(2.6) \quad u_i(\xi) = \varphi_i(\xi) (1 - \xi)^{-i-1/2} \pi \sqrt{\xi - v} / \sqrt{v},$$

получаем для $u_i(\xi)$ уравнение

$$(2.7) \quad u_i(\xi_0) = - \frac{1}{\pi} \int_v^1 \frac{u_i(\xi_0)}{\xi_0 + \xi} \frac{(1-\xi)^{i+1/2}}{(1+\xi)^{i+1/2}} \left(\frac{\xi + v}{\xi - v} \right)^{1/2} d\xi + \frac{1}{\xi_0}.$$

При $i \geq -1$ это уравнение принадлежит к классу уравнений Фредгольма.

Для $i = -1; 0$ решением (2.7) является функция

$$u_i = \sqrt{v} (1 + \xi)^{i+1/2} / \pi \xi \sqrt{\xi + v}.$$

Эти решения совпадают с (1.10), (1.8).

Для $i \geq 1$ уравнение (2.7) решалось численно после приведения его заменой переменной интегрирования, подобранной так, чтобы избавиться от корневых особенностей, к следующему виду:

$$(2.8) \quad u_i(x) = - (1-v)^{i+1} \int_0^1 \frac{u(s)}{x+s} \frac{[\cos(\pi t/2)]^{2i+2} \sqrt{v+s}}{(1+s)^{i+1/2}} dt + \frac{1}{x},$$

$$s = v + (1-v) \sin^2(\pi t/2).$$

Интеграл в (2.8) представляется в виде квадратурной формулы типа Гаусса с фиксированными крайними узлами [12]

$$\int_{-1}^1 f(x) dx \approx Af(-1) + Bf(1) + \sum_{k=1}^r c_k f(x_k),$$

где порядок r взят равным 15. Система линейных алгебраических уравнений, получающаяся из (2.8) для значений u_i в узлах квадратурной формулы x_k , решалась по стандартной программе.

Сравнение полученного таким образом численного решения с аналитическим при $i = 0, v = 0,4$ показало, что относительная ошибка в этом случае не превышает 10^{-7} .

Для больших i и малых $(1 - v)$ из уравнения (2.8) следует

$$(2.9) \quad u_i(x) \approx 1/x.$$

Это подтверждено численным расчетом. Так, уже при $v = 0,4, i = 1$ максимальное отклонение от асимптотики (2.9) составляло 1,5% и с ростом i очень быстро уменьшалось. Для увеличения точности расчетов при больших i численно считалось уравнение для функции $w_i(x) = 1/x - u_i(x)$, легко получающееся из (2.8). Контролировалась точность сравнением с решением, найденным с помощью квадратурной формулы 10-го порядка.

В таблице приведены значения $vw_i(v)$, вычисленные для случая $v = 0,2; 0,4; 0,6; 0,8$ при $0 \leq i \leq 9$.

Используя значение $vw_i(v)$, можно найти коэффициент интенсивности напряжений при особенности в кончике разреза в задаче (2.2). Из (2.5), (2.6) следует

$$(2.10) \quad N_i = t^{i-1/2}(1-v)^{i+1/2}[1-vw_i(v)]/\pi\sqrt{v}.$$

При больших i и v из (2.9), (2.10) следует

$$N_i \approx i^{i-1/2}(1-v)^{i+1/2}/\pi\sqrt{v}.$$

Построим теперь решение задачи с нагрузкой (2.1), функция $f(t)$ которой представима в интервале $0 < t < \infty$ рядом Тейлора $f(t) = \sum_{i=0}^{\infty} a_i t^i$.

i	$v=0,2$	$v=0,4$	$v=0,6$	$v=0,8$
0	0,225 403	0,163 340	0,105 573	0,513 167 $\cdot 10^{-1}$
1	0,142 952	0,630 221 $\cdot 10^{-1}$	0,223 547 $\cdot 10^{-1}$	0,453 999 $\cdot 10^{-2}$
2	0,902 05 $\cdot 10^{-1}$	0,241 791 $\cdot 10^{-1}$	0,480 846 $\cdot 10^{-2}$	0,424 334 $\cdot 10^{-3}$
3	0,568 226 $\cdot 10^{-1}$	0,937 153 $\cdot 10^{-2}$	0,106 459 $\cdot 10^{-2}$	0,414 002 $\cdot 10^{-4}$
4	0,358 242 $\cdot 10^{-1}$	0,367 91 $\cdot 10^{-2}$	0,241 062 $\cdot 10^{-3}$	0,414 889 $\cdot 10^{-5}$
5	0,226 381 $\cdot 10^{-1}$	0,146 107 $\cdot 10^{-2}$	0,554 745 $\cdot 10^{-4}$	0,423 211 $\cdot 10^{-6}$
6	0,143 487 $\cdot 10^{-1}$	0,585 757 $\cdot 10^{-3}$	0,129 177 $\cdot 10^{-4}$	0,437 142 $\cdot 10^{-7}$
7	0,912 4 $\cdot 10^{-2}$	0,236 64 $\cdot 10^{-3}$	0,303 47 $\cdot 10^{-5}$	0,455 760 $\cdot 10^{-8}$
8	0,582 0 $\cdot 10^{-2}$	0,961 9 $\cdot 10^{-4}$	0,717 90 $\cdot 10^{-6}$	0,478 61 $\cdot 10^{-9}$
9	0,372 4 $\cdot 10^{-2}$	0,393 0 $\cdot 10^{-4}$	0,170 77 $\cdot 10^{-6}$	0,505 49 $\cdot 10^{-10}$

Согласно (2.3), (2.10), коэффициент интенсивности напряжений при таком нагружении берегов разреза выражается формулой

$$(2.11) \quad N(t) = \sqrt{1-v} \left[f(s) - v \sum_{i=0}^{\infty} a_i w_i(v) s^i \right] / \pi \sqrt{vt},$$

$$s = t(1-v),$$

которая при $v \rightarrow 1$ имеет асимптотический вид

$$(2.12) \quad N(t) \approx N^1(t) = \sqrt{1-v} f[t(1-v)] / \pi \sqrt{vt}.$$

Заметим, что сходимость ряда в выражении (2.11) лучше, чем ряда для $f(t)$, так как множитель $w_i(v)$ с ростом i быстро убывает.

Это позволяет при заданном отрезке ряда для $f(t)$ получать по формуле (2.11) $N(t)$ при t , большем, чем допустимо из условия аппроксимаций $f(t)$ данным отрезком ряда.

В качестве первого примера рассмотрим экспоненциальный закон изменения силы нагружения во времени

$$(2.13) \quad f(t) = e^{-t} \approx \sum_{i=0}^m (-t)^i / i!.$$

Ошибка при вычислении N по формуле (2.11) при $t = 16,7$, $v = 0,4$, $m = 16$ составляет 10^{-4} , в то время как для ряда (2.13) при $m = 15$ ошибка того же порядка имеет место при $t = 3,4$.

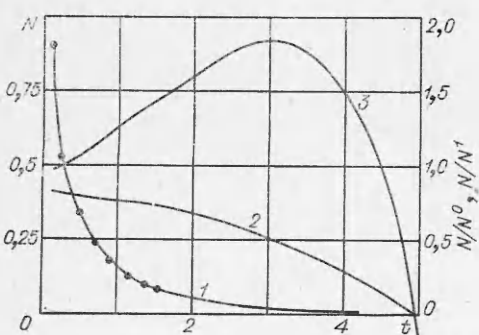
На фиг. 2 показаны зависимости N , N/N^0 , N/N^1 (кривые 1—3 соответственно) для случая $v = 0,4$ при $m = 16$. За $N^0(t)$ здесь принято значение коэффициента интенсивности, которое получается при решении статической задачи о нагружении разреза длины $2vt$ силами $f(t)$

$$(2.14) \quad N^0 = f(t) / \pi \sqrt{2vt}.$$

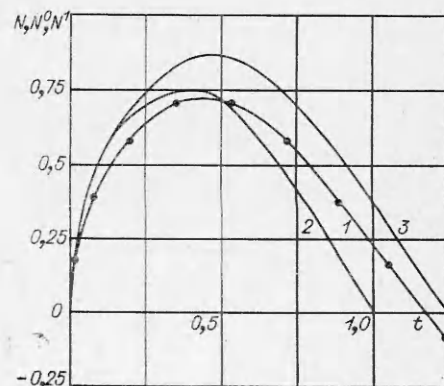
Зависимость $N^1(t)$ определена формулой (2.12).

Качественно поведение $N(t)$ при $t > 4,5$ в этом случае можно описать следующим образом: переход через 0 при $t = 4,96$, убывание до -10^{-3} при $t = 6,67$ и затем медленный рост до $-2 \cdot 10^{-4}$ при $t = 16,7$.

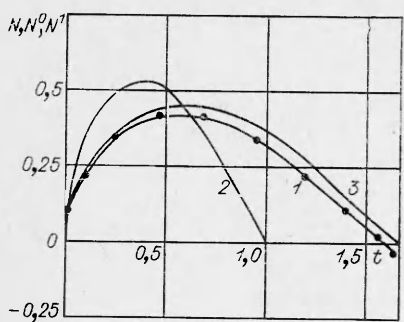
Вид зависимостей N/N^0 и N/N^1 показывает, что для $v = 0,4$ $N(t)$ сильно отличается как от N^0 , так и от N^1 . Аналогичные зависимости для



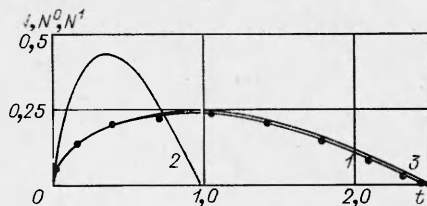
Фиг. 2



Фиг. 3



Фиг. 4



Фиг. 5

$v = 0,2$ и $v = 0,8$ показали, что при малых скоростях $N(t)$ хорошо (10%) может быть приближена $N^0(t)$, а при больших скоростях — $N^1(t)$ в интер-

вале $0 < t < 3$. При $t > 3$ характерным для N при $v = 0,2; 0,4; 0,6; 0,8$ является переход через 0 в моменты времени 5,15; 4,95; 7,15 и 20 соответственно.

Рассмотрим случай $f(t) = \sin \pi t$, $0 < t < 1$. Эта функция была приближена отрезком ряда $\sin \pi t \approx \sum_{i=0}^3 (-\pi t)^{2i+1}/(2i+1)!$. Результаты вычислений по формуле (2.11) при $v = 0,2; 0,4; 0,6$ представлены на фиг. 3—5, где кривые 1—3 соответствуют зависимостям $N(t)$, $N^0(t)$ и $N^1(t)$; видно, что с уменьшением v сближаются кривые N и N^0 , с увеличением — N и N^1 . При средних значениях v оба эти приближения работают плохо.

Отметим еще, что, как и в случае экспоненциального закона, $N(t)$ обращается в нуль, переходя затем в отрицательные значения.

Для расчета зависимости $N(t)$ в случае произвольного закона изменения сил $f(t)$, представляющего в интервале $0 < t < 1$ ограниченную в L_2 функцию, можно воспользоваться (для получения многочленного приближения такого закона) разложением по смещенным полиномам Лежандра P'_n [13]

$$(2.15) \quad f(t) \approx \sum_{n=0}^r b_n P'_n, \quad b_n = (2n+1) \int_0^1 P'_n(t) f(t) dt.$$

Представляя интеграл в (2.15) квадратурной формулой Гаусса порядка $m = r + 1$ и используя (2.11), получим выражение для расчета $N(t)$

$$(2.16) \quad N(t_i) \approx \frac{1-v}{\pi V^i} \sum_{k=0}^m f(x_i) (\delta_{ik} + m_{ik}),$$

$$x_i = (1-v)t_i, \quad i = 1, 2, \dots, m,$$

где x_i — узлы квадратурной формулы Гаусса [12]. Матрица m_{ik} выражается через веса формулы Гаусса A_k [12], коэффициенты P'_n при степенях t^i полиномов P'_n [13] и значения P_{ni} полиномов P'_n в точках x_i :

$$(2.17) \quad m_{ik} = \frac{v A_k}{2} \sum_{s=0}^r w_s(v) (-x_i)^s \sum_{n=s}^r (2n+1) P_n^s P_{nk}.$$

Как пример применения формул (2.16), (2.17) ($r = 9$) были рассчитаны рассмотренные выше случаи $f(t) = e^{-t}$ и $f(t) = \sin \pi t$. Результаты нане-

сены на фиг. 2—5 точками. Видно, что совпадение вполне удовлетворительное.

Для оценки точности формул (2.16), (2.17) ($r=9$) был рассмотрен закон нагружения, допускающий явное решение по формуле (2.4):

$$f(t) = \delta_0(t)\delta_0(0.5-t), \quad 0 < t < 1.$$

При такой нагрузке для $0 < t < 0.5/(1-v)$ N и τ_{yz} определяются выражениями (1.7), (1.8). Используя их, из (2.4) можно численным интегрированием находить $N(t)$ при $t > 0.5/(1-v)$. При этом, если в интервале $0.5/(1-v) < t < 0.5(1+v)/(1-v)^2$ приходится считать однократный интеграл, то при $0.5(1+v)/(1-v)^2 < t < 0.5(1+v)^2/(1-v)^3$ — двукратный и так далее.

На фиг. 6 кривыми 1, 2 показаны зависимости $N(t)$, полученные таким образом при $v = 0.2$ и 0.4 . Точки здесь нанесены значения $N(t)$, найденные для данного закона нагружения по формулам (2.16), (2.17). Видно, что совпадение результатов вполне удовлетворительное.

Формула (2.16) позволяет решать обратную задачу: по заданному $N(t)$ находить $f(t)$, в частности, следующую «оптимальную» задачу.

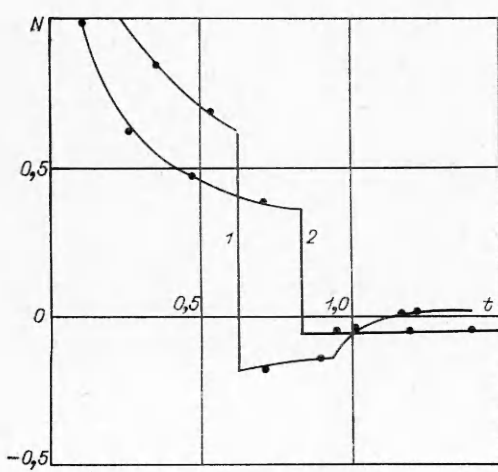
Пусть минимальная величина N , при которой трещина может двигаться с постоянной скоростью v без остановки, есть $K = \text{const}$. При каком законе нагружения $f(t)$ коэффициент особенности в носике разреза во все время движения будет равен K ? Обращение (2.16) позволяет построить такой закон. На фиг. 7 сплошными кривыми 1—4 показаны зависимости $f(t)/K$ при $v = 0.2; 0.4; 0.6; 0.8$, найденные из системы (2.16) с постоянной левой частью, равной K .

Приближенное решение этой задачи можно получить, предполагая, что $N = N^1(t)$ (2.12). При таком предположении

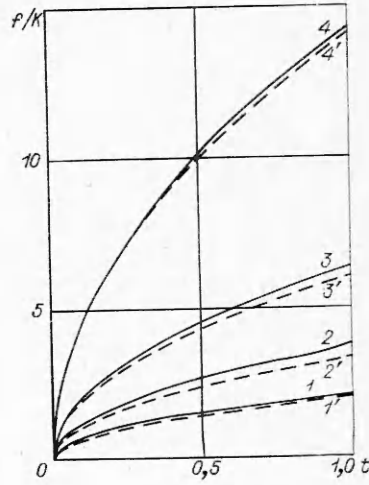
$$(2.18) \quad f(t)/K = \pi\sqrt{vt}/(1-v).$$

Зависимости (2.18) при $v = 0.4; 0.6; 0.8$ показаны на фиг. 7 кривыми 2'—4'.

Из сравнения точного и приближенного решения видно, что для данной задачи приближенное решение (2.18) удовлетворительно согласуется с точным при $v \geq 0.2$.



Фиг. 6



Фиг. 7

При $v < 0,2$ более точные результаты дает квазистатическое приближение $N = N^0(t)$ (2.14) (кривая I' для $v = 0,2$).

Автор выражает благодарность Э. Б. Поляку за помощь в расчетах на ЭВМ.

Поступила 8 VII 1976

ЛИТЕРАТУРА

1. Костров Б. В. Неустановившееся распространение трещины продольного сдвига.— ПММ, 1966, т. 30, вып. 6.
2. Афанасьев Е. Ф., Черепанов Г. П. Автомодельная задача динамической теории упругости для полуплоскости.— В кн.: Успехи механики деформируемых сред. М., «Наука», 1975.
3. Broberg K. B. The propagation of a brittle crack.— «Arkiv Fysik», 1960, Bd 18, N 2.
4. Костров Б. В. Осесимметрическая задача о распространении трещины нормально-го разрыва.— ПММ, 1964, т. 28, вып. 4.
5. Костров Б. В. Автомодельные задачи о распространении трещин касательного разрыва.— ПММ, 1964, т. 28, вып. 5.
6. Афанасьев Е. Ф. Некоторые однородные решения динамической теории упругости.— В кн.: Механика сплошной среды и родственные проблемы анализа (к 80-летию академика Н. И. Мусхелишивили). М., «Наука», 1972.
7. Афанасьев Е. Ф., Черепанов Г. П. Некоторые динамические проблемы теории упругости.— ПММ, 1973, т. 37, вып. 4.
8. Cherepanov G. P., Afanas'ev E. F. Some dynamic problems of the theory of elasticity.— «Intern. J. Engng Sci.», 1974, vol. 12.
9. Мартынюк П. А., Шер Е. Н. Некоторые автомодельные задачи о развитии звезды трещин в условиях антиплоской деформации.— ПМТФ, № 5, 1976.
10. Соболев С. Л. Некоторые вопросы теории распространения колебаний.— В кн.: Дифференциальные и интегральные уравнения математической физики. Л.— М., ОНТИ, 1957.
11. Шер Е. Н. Об автомодельном развитии изолированной трещины на примере антиплоской деформации.— В кн.: Вопросы механизма разрушения горных пород. Новосибирск, изд. Ин-та горного дела СО АН СССР, 1976.
12. Крылов В. И. Приближенное вычисление интегралов. М., Физматгиз, 1959.
13. Математический анализ. Вычисление элементарных функций. М., Физматгиз, 1963.

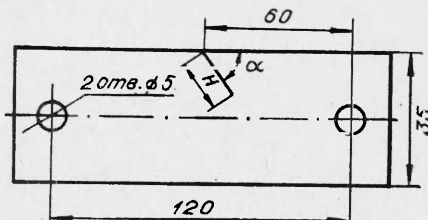
УДК 620.171.5:535.51

К ВОПРОСУ О РАСПРОСТРАНЕНИИ ТРЕЩИН В НЕОРИЕНТИРОВАННЫХ АМОРФНЫХ ПОЛИМЕРАХ

В. Н. Гульняшкин, С. И. Детистов

(Новокузнецк, Харьков)

Экспериментально исследуется начальное направление развития трещины в зависимости от отношения коэффициентов интенсивности напряжений $\lambda = k_2/k_1$ у ее вершины при больших λ . Исследования выполнены методом фотоупругости на фотоэластиметре фирмы «МЕОРТА» (ЧССР) на образцах толщиной 4 мм из эпоксидной смолы ЭД-6 с малеиновым ангидридом в качестве отвердителя (фиг. 1). Трещины в образцах зарождались с помощью специального ножа, для чего образцы нагревались до температуры 83°C, при которой они размягчались и легко пробивались



Фиг. 1